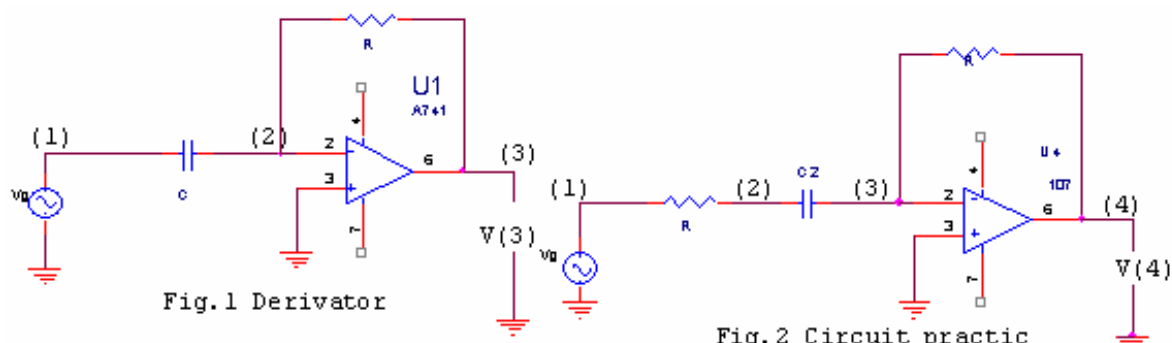


Circuit activ de ordin I – derivator

Scopul lucrarii	1
Caracterizarea circuitului	2
Circuit real cu rezistenta serie	2
Descrierea circuitului	2
Calculul tensiunilor nodale si a curentilor prin laturi	2
Calcularea functiei de transfer	2
Calcularea functiei de transfer pentru AO ideal.....	3
Descrierea folosind ecuatiiile de stare a circuitului	3
Derivator	4
Descrierea circuitului	4
Calculul tensiunilor nodale si a curentilor prin laturi	4
Calcularea functiei de transfer pentru circuit.....	4
Calcularea functiei de transfer pentru AO ideal.....	5
Descrierea folosind ecuatiiile de stare a circuitului	5
Functia de transfer H(s).....	5
Functia de transfer in regim permanent H(j?)	7
Raspuns in regim permanent.....	8
Raspunsul la semnal armonic.....	9
Raspunsul la semnal armonic de frecventa joasa.....	10
Raspuns de regim tranzitoriu	10
Raspunsul la semnal treapta	10
Raspunsul la semnal dreptunghiular	11
Raspunsul la succesiune de pulsuri dreptunghiulare, bipolar - simetrice	12
Comportarea derivatorului	12
Comportare ca derivator.....	12
Analiza PSPICE	13
Diagrama Bode de modul si faza pentru cele doua circuite:.....	14
Functia pondere.....	14
Comportare de derivator	14

Scopul lucrarii

In lucrarea de fata ne propunem analiza unui derivator cu AO cu condensator si rezistor in bucla de reactie.



- Obs: -> In Fig1. se prezinta schema unui derivator cu AO, ideal.
->In Fig2. se prezinta schema realizata practic, numita in continuare circuit.

Caracterizarea circuitului

```
> restart:with(Syrup):
> libname:="c:\maple/SCSlib",libname:
```

Circuit real cu rezistenta serie

Descrierea circuitului

```
> circuit:=
"Derivator cu AO
Vg 1 0 Vg
r 1 2 r
C 2 3 C
R 3 4 R
E 4 0 0 3 A
.end":
```

Calculul tensiunilor nodale si a curentilor prin laturi

```
> syrup(circuit,ac,'currenti','tensiuni');
Syrup/parsedeck: Analyzing SPICE deck "Derivator cu AO" (ignoring this
line)
```

$$\begin{aligned} \{ v_1 = Vg, v_4 = -\frac{s CRA Vg}{s CR + A + 1 + As Cr + s Cr}, v_2 = \frac{Vg (s CR + A + 1)}{s CR + A + 1 + As Cr + s Cr}, \\ v_3 = \frac{s CR Vg}{s CR + A + 1 + As Cr + s Cr} \} \end{aligned}$$

```
> tensiuni;
```

$$\begin{aligned} \{ v_1 = Vg, v_4 = -\frac{s CRA Vg}{s CR + A + 1 + As Cr + s Cr}, v_2 = \frac{Vg (s CR + A + 1)}{s CR + A + 1 + As Cr + s Cr}, \\ v_3 = \frac{s CR Vg}{s CR + A + 1 + As Cr + s Cr} \} \end{aligned}$$

```
> currenti;
```

$$\left\{ \begin{aligned} i_E &= \frac{s C (A + 1) Vg}{s CR + A + 1 + As Cr + s Cr}, i_{Vg} = -\frac{s C (A + 1) Vg}{s CR + A + 1 + As Cr + s Cr}, \\ i_r &= \frac{Vg - \frac{Vg (s CR + A + 1)}{s CR + A + 1 + As Cr + s Cr}}{r}, i_C = \frac{s C (A + 1) Vg}{s CR + A + 1 + As Cr + s Cr}, \\ i_R &= \frac{\frac{s CR Vg}{s CR + A + 1 + As Cr + s Cr} + \frac{s CRA Vg}{s CR + A + 1 + As Cr + s Cr}}{R} \end{aligned} \right\}$$

Calcularea functiei de transfer

Exista mai multe metode de calcul a functiei de transfer:

Metoda 1: folosind formula amplificarii

Stim ca functia de transfer a unui asemenea circuit este descrisa de formula:

$$H(s) = -\frac{Z_2(s)}{Z_1(s)}, Z_1(s) = r + \frac{1}{sC}, Z_2(s) = R$$

Astfel functia de transfer devine:

$$H(s) = -\frac{R}{r + \frac{1}{sC}} = -\frac{s \cdot \frac{RC}{rC}}{s + \frac{1}{rC}} = -\frac{RC}{rC} \cdot \frac{s}{s + \frac{1}{rC}}$$

Notand: $a = \frac{1}{RC}$ si $a_1 = \frac{1}{rC}$ va rezulta ca:

$$H(s) = -\frac{a_1}{a} * \frac{s}{s + a_1}$$

Metoda 2: folosind modelul nulor-norator

Cu ajutorul modelului nulor-norator al AO:

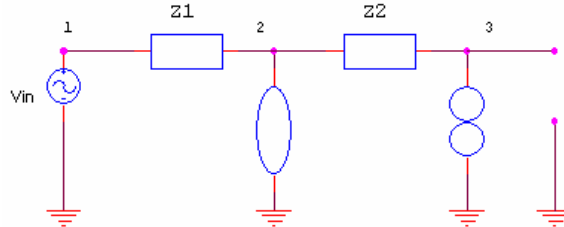


Fig .3
Modelul
nulor
norator

Scriind ecuațiile Kirchoff 1 și 2 pe circuit:

$$\begin{cases} V_{in} = Z_1 I \\ V_{out} = Z_2 I \end{cases} \quad \begin{cases} V_{in} = (r + \frac{1}{sC}) I \\ V_{out} = RI \end{cases}$$

Obținem aceeași funcție de transfer obținuta cu metoda 1, Z1 și Z2 având aceeași formă.

Metoda 3: calcul simbolic

Folosind Maple și pachetul Syrup se obține:

$$> \text{Hcircuit} := \text{eval}(\text{v}[4]/\text{v}[1], \text{tensiuni});$$

$$H_{\text{circuit}} := -\frac{s C R A}{s C R + A + 1 + A s C r + s C r}$$

Calcularea functiei de transfer pentru AO ideal

$$> \text{Hcircuitideal} := \text{limit}(\text{Hcircuit}, \text{A}=\text{infinity});$$

$$H_{\text{circuitideal}} := -\frac{s C R}{1 + s C r}$$

Descrierea folosind ecuațiile de stare a circuitului

1. Ecuatii de stare

> **syrup(circuit, tran, 'currenti', 'tensiuni');**

Syrup/parsedeck: Analyzing SPICE deck "Derivator cu AO" (ignoring this line)

$$\{ v_c(0) = 0, \frac{\partial}{\partial t} v_c(t) = \frac{A Vg + Vg - A v_c(t) - v_c(t)}{C(R + r + A r)} \}, \{ v_c(t) \}$$

2. Ecuatii de ieșire

> **tensiuni;**

$$\{ v_2 = \frac{R Vg + r A v_c(t) + r v_c(t)}{R + r + A r}, v_4 = -\frac{A R (Vg - v_c(t))}{R + r + A r}, v_3 = \frac{R (Vg - v_c(t))}{R + r + A r}, v_1 = Vg \}$$

> **currenti;**

$$\left\{ i_{Vg} = -\frac{A Vg + Vg - A v_c(t) - v_c(t)}{R + r + A r}, i_r = \frac{Vg - \frac{R Vg + r A v_c(t) + r v_c(t)}{R + r + A r}}{r} \right.,$$

$$i_C = \frac{A Vg + Vg - A v_C(t) - v_C(t)}{R + r + A r}, i_R = \frac{R (Vg - v_C(t))}{R + r + A r} + \frac{A R (Vg - v_C(t))}{R + r + A r}, \\ i_E = \left. \frac{A Vg + Vg - A v_C(t) - v_C(t)}{R + r + A r} \right\}$$

Derivator

Descrierea circuitului

```
> derivator:=
"Derivator cu AO
Vin 1 0 Vin
R 2 3 R
C 1 2 C
E 3 0 0 2 A
.end":
```

Calculul tensiunilor nodale si a curentilor prin laturi

```
> syrup(derivator,ac,'curenti','tensiuni'):
Syrup/parsedeck: Analyzing SPICE deck "Derivator cu AO" (ignoring this
line)
> tensiuni;
{  $v_1 = Vin, v_3 = -\frac{A Vin s C R}{s CR + A + 1}, v_2 = \frac{Vin s C R}{s CR + A + 1}$  }
```

> curenti;

$$\left\{ i_C = \frac{s C Vin (A + 1)}{s CR + A + 1}, i_R = \frac{Vin s C R}{s CR + A + 1} + \frac{A Vin s C R}{s CR + A + 1}, i_E = \frac{s C Vin (A + 1)}{s CR + A + 1}, i_{Vin} = -\frac{s C Vin (A + 1)}{s CR + A + 1} \right\}$$

Calcularea functiei de transfer pentru circuit

Exista mai multe metode de calcul a functiei de transfer:

Metoda 1: folosind formula amplificarii

Stim ca functia de transfer a unui asemenea circuit este descrisa de formula:

$$H(s) = -\frac{Z_2(s)}{Z_1(s)}, Z_1(s) = \frac{1}{s * C}, Z_2(s) = G$$

Astfel functia de transfer devine:

$$H(s) = -sRC$$

Metoda 2: folosind modelul nulor-norator

Cu ajutorul modelului nulor-norator al AO:

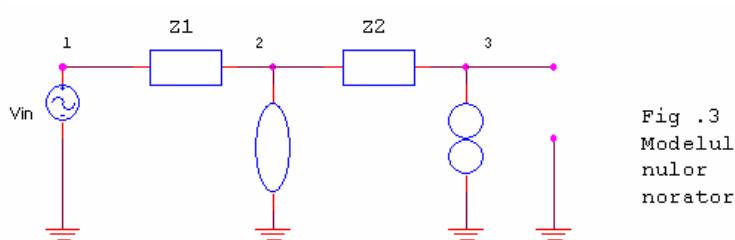


Fig .3
Modelul
nulor
norator

Scriind ecuatii Kirchoff 1 si 2 pe circuit obtinem:

$$\begin{cases} V_{in} = Z_1 I \\ V_{out} = Z_2 I \end{cases} \quad \begin{cases} V_{in} = \frac{1}{sC} I \\ V_{out} = RI \end{cases}$$

aceeasi functie de transfer obtinuta cu metoda 1, Z1 si Z2 avand aceeasi forma.

Metoda 3: calcul simbolic

Folosind Maple si pachetul Syrup se obtine:

```
> H:=eval(v[3]/v[1],tensiuni);
```

$$H := -\frac{A s C R}{s C R + A + 1}$$

Calcularea functiei de transfer pentru AO ideal

```
> Hideal:=limit(H,A=infinity);
Hideal := -s C R
```

Descrierea folosind ecuatii de stare a circuitului

1. Ecuatii de stare

```
> syrup(derivator,tran,'currenti','tensiuni');
```

Syrup/parsedeck: Analyzing SPICE deck "Derivator cu AO" (ignoring this line)

$$\{ v_C(0) = 0, \frac{\partial}{\partial t} v_C(t) = \frac{Vin - v_C(t) + A Vin - A v_C(t)}{C R} \}, \{ v_C(t) \}$$

2. Ecuatii de iesire

```
> tensiuni;
```

$$\{ v_3 = -A Vin + A v_C(t), v_1 = Vin, v_2 = Vin - v_C(t) \}$$

```
> currenti;
```

$$\begin{aligned} i_{Vin} &= -\frac{Vin - v_C(t) + A Vin - A v_C(t)}{R}, i_E = \frac{Vin - v_C(t) + A Vin - A v_C(t)}{R}, \\ i_R &= \frac{Vin - v_C(t) + A Vin - A v_C(t)}{R}, i_C = \frac{Vin - v_C(t) + A Vin - A v_C(t)}{R} \end{aligned}$$

Pentru circuitul real daca consideram o gama de frecvente pentru care rezistenta R1 >> Zc(s):

```
> limit(Hcircuiteideal,r=0);
```

$$-s C R$$

Obs: calculind functia de transfer pentru circuitul real in gama de frecventa pentru care rezistenta r se poate neglaja s-a obtinut aceeasi relatie.

Functia de transfer H(s)

S-a calculat in sectiunea anteroioara functia de transfer pentru circuitul real (cu rezistenta r) si pentru derivator:

$$\text{derivator: } H(s) = -\frac{s}{a}$$

$$\text{circuit: } H(s) = -\frac{a_1}{a} * \frac{s}{s+a_1} \text{ cu } a_1 = \frac{1}{rC}, a = \frac{1}{RC}$$

```
> Hideal;Hcircuiteideal;
```

$$-s C R$$

$$-\frac{s C R}{1 + s C r}$$

Circuit activ de ordin I – derivator

Polii functiei de transfer:

$$> \text{RootOf}(\text{denom}(H_{\text{circuitideal}})=0, s); \\ -\frac{1}{Cr}$$

Evaluare numERICA:

$$> H := \text{eval}(H_{\text{ideal}}, [C=22*1E-9, R=10^3]); H_c := \text{eval}(H_{\text{circuitideal}}, [C=22*1E-9, R=10^3, r=100]); PZ[\text{numeric}](H_c, s); \\ H := -0.000022000 s$$

$$H_c := -0.000022000 \frac{s}{1 + .2200 \cdot 10^{-5} s}$$

$$\begin{bmatrix} zI & 0. \\ pI & -454500. \end{bmatrix}$$

Polii functiei de transfer:

$$> \text{Bode}[\text{castig}](H); \text{Bode}[\text{faza}](H);$$

Diagrama Bode de castig



Diagrama Bode de faza

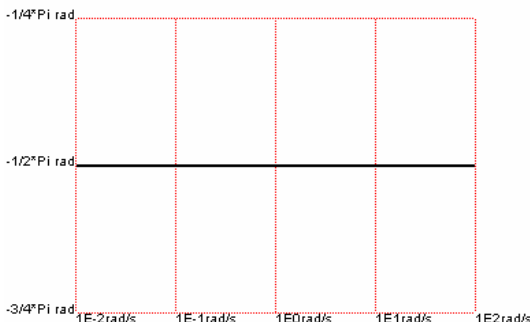


Diagrama Bode de castig

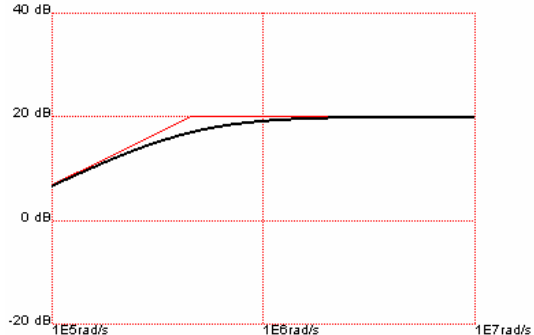
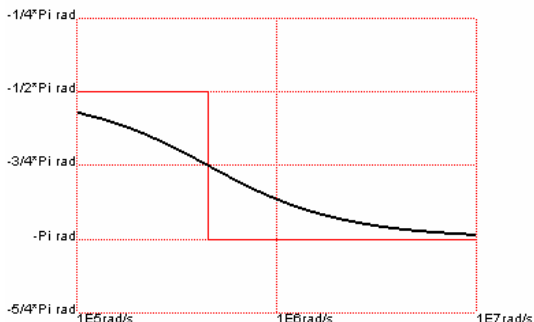


Diagrama Bode de faza



$$> \text{Bode}[\text{polara}](H); \text{Bode}[\text{polara}](H_c);$$

Diagrama polara

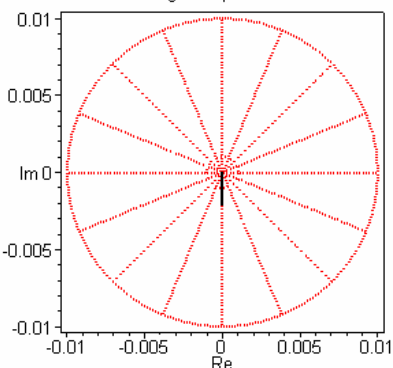
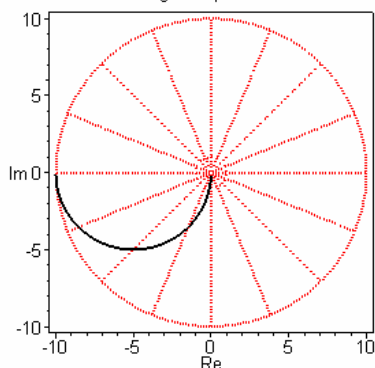


Diagrama polara



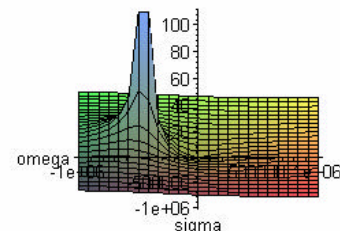
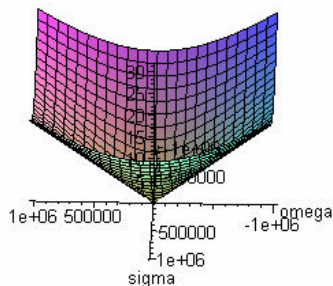
Interpretarea functiei de transfer:

```
> plot3d(abs(eval(H,s=sigma+I*omega)),sigma=-10^6..10^6,omega=-10^6..10^6,axes=normal,title="Reprezentarea in spatiu a modulului f.d.t.");
plot3d(abs(eval(Hc,s=sigma+I*omega)),sigma=-10^6..10^6,omega=-10^6..10^6,axes=normal,title="Reprezentarea in spatiu a modulului f.d.t.");

```

Reprezentarea in spatiu a modulului f.d.t.

Reprezentarea in spatiu a modulului f.d.t.



Functia de transfer in regim permanent $H(j\omega)$

```
>
Hoideal:=subs(s=I*omega,Hideal);Hocircuitideal:=subs(s=I*omega,H
circuitideal);

```

$$Hoideal := -I \omega C R$$

$$Hocircuitideal := \frac{-I \omega C R}{1 + I \omega C r}$$

```
> assume(R,positive):assume(r,positive):assume(C,positive):
>
abs_H0:=abs(limit(Hocircuitideal,omega=0));arg_H0:=argument(limi
t(Hocircuitideal,omega=0));
abs_Hinf:=abs(limit(Hocircuitideal,omega=infinity));arg_Hinf:=ar
gument(limit(Hocircuitideal,omega=infinity));
abs_Halpha:=abs(eval(Hocircuitideal,omega=1/(r*C)));arg_Halpha:=
argument(eval(Hocircuitideal,omega=1/(r*C)));alpha=eval(1/(r*C),
[R=10^3, C=22*1E-9, r=100]);

```

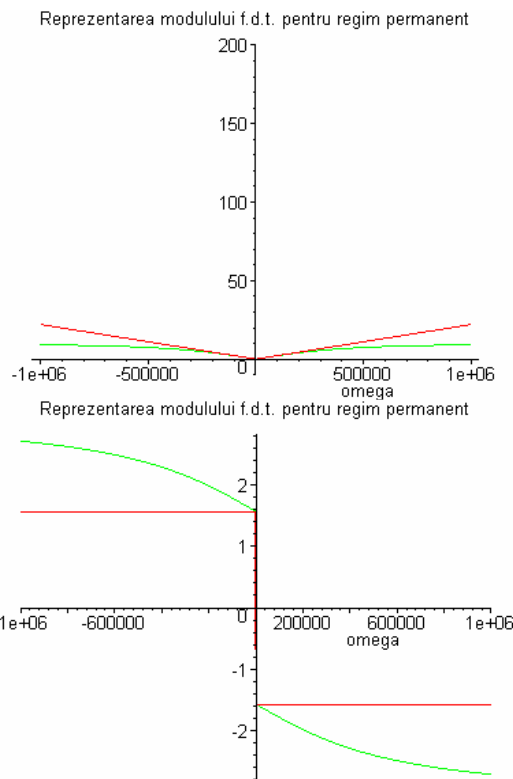
$$abs_H0 := 0, arg_H0 := 0$$

$$abs_Hinf := \frac{R}{r}, arg_Hinf := \pi$$

$$abs_Halpha := \frac{1}{2} \frac{\sqrt{2} R}{r}, arg_Halpha := -\frac{3}{4} \pi$$

$$\alpha = 454545.4545$$

```
> plot( eval( [ abs(Hoideal), abs(Hocircuitideal) ] , [R=10^3,
C=22*1E-9, r=100]), omega=-
10^6..10^6,axes=normal,title="Reprezentarea modulului f.d.t.
pentru regim permanent", view=[DEFAULT, -10..200]);
plot( eval( [ argument(Hoideal), argument(Hocircuitideal) ] ,
[R=10^3, C=22*1E-9, r=100]), omega=-
10^6..10^6,axes=normal,title="Reprezentarea modulului f.d.t.
pentru regim permanent");
```



Raspuns in regim permanent

```
> restart:  
> libname:="c:/maple/SCslib",libname:  
> F:=table([dir=FOURIER,inv=inttrans[invfourier]]):
```

Pentru circuite liniare lucrând în regim permanent sinusoidal funcția de transfer are semnificația de **amplificare generalizată**. Un semnal $e(t)=A\cos(\omega_0 t + \phi)$ aplicat la intrarea circuitului liniar descris de funcția de transfer $H(s)$ se regăsește la ieșire sub forma:

$$y(t) = A|H(s)|_{s=j\omega_0} \cos(\omega_0 t + \phi + \arg H(s)_{s=j\omega_0})$$

adică amplificat cu modulul funcției de transfer la frecvența ω_0 și defazat suplimentar cu argumentul funcției de transfer la aceeași frecvență ω_0 .

Pentru un semnal de intrare format prin sumarea unui număr de semnale sinusoidale:

$$e(t) = A_0 + \sum_{k=1}^N A_k \cos(\omega_{0k} t + \phi_k)$$

ieșirea se poate calcula pe baza proprietății de liniaritate:

$$y(t) = A_0 H(j0) + \sum_{k=1}^N A_k |H(j\omega_{0k})| \cos(\omega_{0k} t + \phi_k + \arg H(j\omega_{0k}))$$

Obs: Derivatorul are în IF amplificare teoretică infinită. Realizat practic un astfel de circuit nu funcționează. El practic derivează o componentă de înaltă frecvență parazită și se satură. Schema a două este o variantă de realizare practică în care amplificarea la IF a fost limitată.

Schema a două se comportă ca derivator pentru frecvențe mult mai mici decât $\alpha = \frac{1}{rC}$.

```
> Hs:=-(s*alpha1)/(alpha*(s+alpha1));  
Hs := - 
$$\frac{s\alpha_1}{\alpha(s+\alpha_1)}$$

```

$$> \text{Homega} := \text{subs}(s = I * \omega, H_s); \\ \text{Homega} := \frac{-I \omega \alpha_1}{\alpha(I \omega + \alpha_1)}$$

Atenuarea in cc este:

$$> \text{limit}(\text{Homega}, \omega = 0); \\ 0$$

Raspunsul la semnal armonic

In acest caz expresia excitatiei $e(t)$ este de forma:

$$> e := A_0 * \cos(w * t); \\ e := A_0 \cos(w t)$$

Transformata Fourier a excitatiei $e(t)$ este:

$$> E := \text{F[dir]}(e, t, \omega); \\ E := A_0 \pi \text{Dirac}(-\omega + w) + A_0 \pi \text{Dirac}(\omega + w)$$

Transformata Fourier a excitatiei $y(t)$ este:

$$> Y := \text{Homega} * E; \\ Y := \frac{-I \omega \alpha_1 (A_0 \pi \text{Dirac}(-\omega + w) + A_0 \pi \text{Dirac}(\omega + w))}{\alpha(I \omega + \alpha_1)}$$

Raspunsul $y(t)$ al circuitului la excitatia $e(t)$ este:

$$> y := \text{simplify}(\text{normal}(\text{convert}(\text{F}[inv](Y, \omega, t), \text{trig}), \text{expanded})); \\ y := -\frac{\alpha_1 A_0 w (w \cos(w t) - \alpha_1 \sin(w t))}{\alpha(w^2 + \alpha_1^2)}$$

La acelasi rezultat se putea ajunge urmarind pasii de calcul:

$$H(jw) = -\frac{\mathbf{a}_1}{\mathbf{a}} \frac{jw}{jw + \mathbf{a}_1}, \quad \mathbf{a}_1 = \frac{1}{rC}, \mathbf{a} = \frac{1}{RC}$$

Modulul si faza functiei de transfer:

$$\begin{cases} |H(jw)| = \frac{\mathbf{a}_1}{\mathbf{a}} \frac{w}{\sqrt{w^2 + (\mathbf{a}_1)^2}} \\ \arg(H(jw)) = -\frac{p}{2} + \arctg\left(\frac{\mathbf{a}_1}{w}\right) \end{cases}$$

Forma generala a raspunsului permanent:

$$y(t) = A_0 |H(jw)| \cos(wt + \arg(H(jw)))$$

Raspunsul permanent este:

$$y(t) = A_0 \frac{\mathbf{a}_1}{\mathbf{a}} \frac{w}{\sqrt{w^2 + (\mathbf{a}_1)^2}} \cos\left(wt - \frac{p}{2} + \arctg\left(\frac{\mathbf{a}_1}{w}\right)\right)$$

Raspunsul la semnal armonic de frecventa egala cu frecventa polului

$$> e1 := \text{eval}(e, w = \alpha); \\ e1 := A_0 \cos(\alpha t)$$

$$> y1 := \text{simplify}(\text{eval}(y, w = \alpha)); \\ y1 := -\frac{\alpha_1 A_0 (\alpha \cos(\alpha t) - \alpha_1 \sin(\alpha t))}{\alpha^2 + \alpha_1^2}$$

Obs: Semnalul de iesire este defazat fata de intrare cu $-\frac{\pi}{4}$ si atenuat cu $\frac{1}{\sqrt{2}}$ in raport cu

atenuarea din banda.

Raspunsul la semnal armonic de frecventa joasa

> **e;**

$$A0 \cos(w t)$$

> **y;**

$$-\frac{\alpha 1 A0 w (\cos(w t) - \alpha 1 \sin(w t))}{\alpha (w^2 + \alpha 1^2)}$$

> **limit(y, alpha1=infinity);**

$$\frac{A0 w \sin(w t)}{\alpha}$$

Obs: iesirea este derivata intrarii!

Raspuns de regim tranzitoriu

```
> restart:with(inttrans):
> libname:="c:/maple/SCSlib",libname:
> L:=table([dir=inttrans[laplace],inv=inttrans[invlaplace]]):
>
assume(_alpha,positive):assume(_omega,positive):assume(_tau,positive):assume(_T,positive):
```

Consideram circuitul liniar cu AO pentru care am determinat functia de transfer $H(s)$. Excitatia este $e(t)$ si raspunsul este tensiunea $y(t)$. In situatia in care semnalul $e(t)$ este cauzal, circuitul functioneaza in regim tranzitoriu. In studiul comportarii de regim tranzitoriu se utilizeaza *transformata Laplace*. Vom nota cu $Y(s)$ transformata Laplace a semnalului $y(t)$ si cu $E(s)$ transformata Laplace a semnalului excitatie $e(t)$. Metodologia de calcul a raspunsului $y(t)$ la excitatia $e(t)$ pentru un circuit este urmatoarea:

- Determinarea lui $E(s)$ din $e(t)$, folosind *transformata Laplace directa*.
- Determinarea lui $Y(s)$, folosind relatia $Y(s) = H(s) E(s)$.
- Determinarea lui $y(t)$ din $Y(s)$, folosind *transformata Laplace inversa*.

Pentru circuit functia de transfer este:

```
> Hs :=-(s*alpha1)/(alpha*(s+alpha1));
Hs := -\frac{s \alpha 1}{\alpha (s + \alpha 1)}
```

Raspunsul la semnal treapta

In acest caz expresia excitatia $e(t)$ este de forma:

```
> e:=A0*Heaviside(t);
e := A0 Heaviside(t)
```

- Transformata Laplace a excitatiei $e(t)$ este:

```
> E:=L[dir](e,t,s);
```

$$E := \frac{A0}{s}$$

- Transformata Laplace a excitatiei $y(t)$ este:

```
> Y:=Hs*E;
```

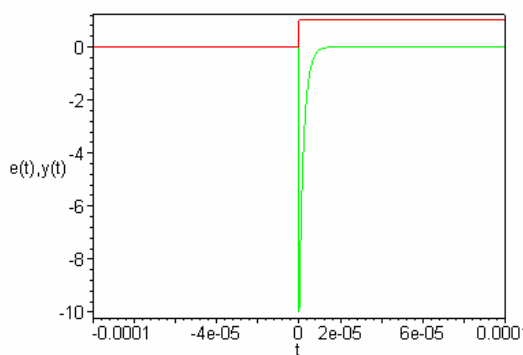
$$Y := -\frac{\alpha_1 A_0}{\alpha(s + \alpha_1)}$$

- Raspunsul $y(t)$ al circuitului la excitatia $e(t)$ este:

```
> y:=L[inv](Y,s,t)*Heaviside(t);
y := -  $\frac{\alpha_1 A_0 e^{(-\alpha_1 t)}}{\alpha} \text{Heaviside}(t)$ 
```

Se reprezinta semnalele de intrare si iesire pentru valorile din schema ale rezistentelor si ale condensatorului:

```
> plot(eval([e,subs([alpha=1/(R*C), alpha1=1/(r*C)],y)], [A0=1,C=22*1E-9, R=10^3, r=100]), t=-0.0001..0.0001,numpoints = 200,thickness=1,axes=box,title="Raspunsul la excitatie data a circuitului cu AO",labels=[ "t", "e(t),y(t)"]);
Raspunsul la excitatie data a circuitului cu AO
```



Raspunsul la semnal dreptunghiular

In acest caz expresia excitatia $e(t)$ este de forma:

```
> e:=A0*(Heaviside(t)-Heaviside(t-tau));
e := A0(Heaviside(t) - Heaviside(t - \tau))
```

- Transformata Laplace a excitatie $e(t)$ este:

```
> E:=subs(_tau=tau,L[dir](subs(tau=_tau,e),t,s));
E := A0 \left( \frac{1}{s} - \frac{e^{(-s \tau)}}{s} \right)
```

- Transformata Laplace a excitatie $y(t)$ este:

```
> Y:=Hs*E;
Y := -  $\frac{s \alpha_1 A_0 \left( \frac{1}{s} - \frac{e^{(-s \tau)}}{s} \right)}{\alpha(s + \alpha_1)}$ 
```

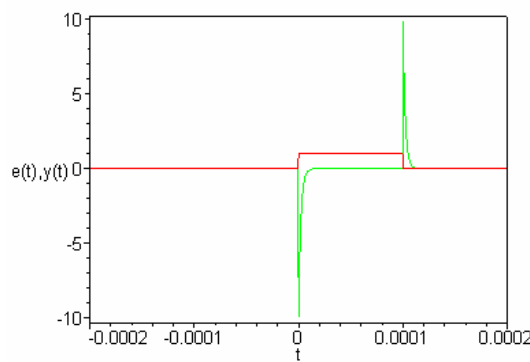
- Raspunsul $y(t)$ al circuitului la excitatia $e(t)$ este:

```
> y:=L[inv](Y,s,t)*Heaviside(t);
y := -  $\frac{\alpha_1 A_0 (-e^{(\alpha_1(-t+\tau))} \text{Heaviside}(t-\tau) + e^{(-\alpha_1 t)}) \text{Heaviside}(t)}{\alpha}$ 
```

Se reprezinta semnalele de intrare si iesire pentru valorile din schema ale rezistentelor si ale condensatorului:

```
> plot(eval([e,subs([alpha=1/(R*C), alpha1=1/(r*C)],y)], [A0=1,tau = 0.0001, C=22*1E-9, R=10^3, r=100]), t=-
```

```
0.0002..0.0002,numpoints =
200,thickness=1,axes=box,title="Raspunsul la excitatie data a
circuitului cu AO",labels=[ "t","e(t),y(t)"]);
Raspunsul la excitatie data a circuitului cu AO
```



Raspunsul la succesiune de pulsuri dreptunghiulare, bipolar - simetrice

> N:=5:

In acest caz expresia excitatia $e(t)$ este de forma:

```
> e:=(-A0/2+A0*sum(Heaviside(t-n*T)-Heaviside(t-tau-n*T),n=0..N-
1))*Heaviside(t):
```

- Transformata Laplace a excitatie $e(t)$ este:

```
> E:=subs([_tau=tau,_T=T],L[dir](subs([T=_T,tau=_tau],e),t,s)):
```

- Transformata Laplace a excitatie $y(t)$ este:

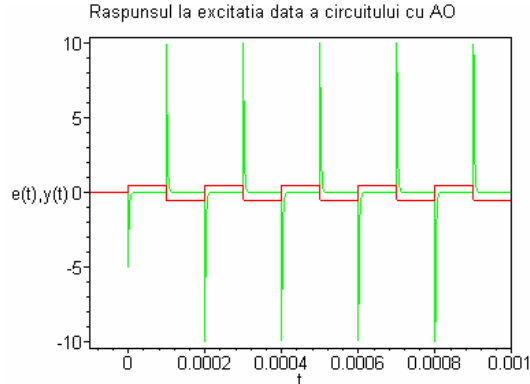
```
> Y:=Hs*E:
```

- Raspunsul $y(t)$ al circuitului la excitatia $e(t)$ este:

```
>y:=subs([_tau=tau,_T=T,_alpha=alpha],L[inv](subs([T=_T,tau=_tau,
alpha=_alpha],Y),s,t))*Heaviside(t):
```

Se reprezinta semnalele de intrare si iesire pentru valorile din schema ale rezistentelor si ale condensatorului:

```
> plot(eval([e,subs([alpha=1/(R*C), alpha1=1/(r*C)],y)], [A0=1,T
=0.0002,tau = 0.0001, C=22*1E-9, R=10^3, r=100]), t=-
0.0001..0.001,numpoints=1000, thickness=1,
axes=box,title="Raspunsul la excitatia data a circuitului cu
AO",labels=[ "t","e(t),y(t)"]);
Raspunsul la excitatia data a circuitului cu AO
```



Comportarea derivatorului

Comportare ca derivator

Se modifica frecventa semnalului dreptunghiular (perioada T) cu pastrarea unui factor de umplere de 50%. Se observa regimul tranzitoriu :

```
> plot(eval([e,subs([alpha=1/(R*C), alpha1=1/(r*C)],y)], [A0=1,T
```

```
=0.00005,tau = 0.000025, C=22*1E-9, R=10^3, r=100]), t=-
0.00001..0.00023,numpoints =
1000,thickness=1,axes=box,title="Raspunsul la excitatia data a
circuitului cu AO",labels=["t","e(t),y(t)"]);
Raspunsul la excitatia data a circuitului cu AO

>plot(eval([e,subs([alpha=1/(R*C), alpha1=1/(r*C)],y)], [A0=1,T
=0.0006,tau = 0.0003, C=22*1E-9, R=10^3, r=100]),
t=0.0011..0.0019,numpoints =
1000,thickness=1,axes=box,title="Raspunsul la excitatia data a
circuitului cu AO",labels=["t","e(t),y(t)"]);
Raspunsul la excitatia data a circuitului cu AO


```

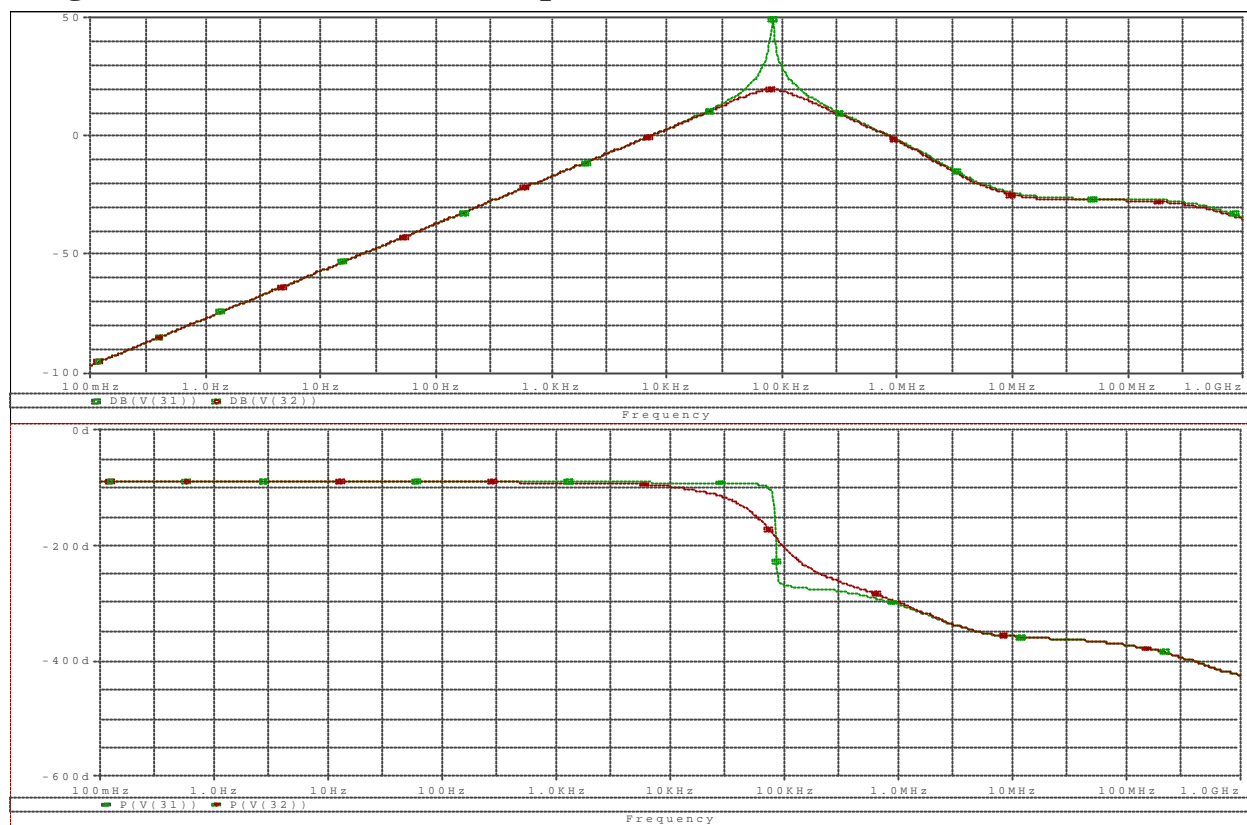
Analiza PSPICE

Descriere PSpice:

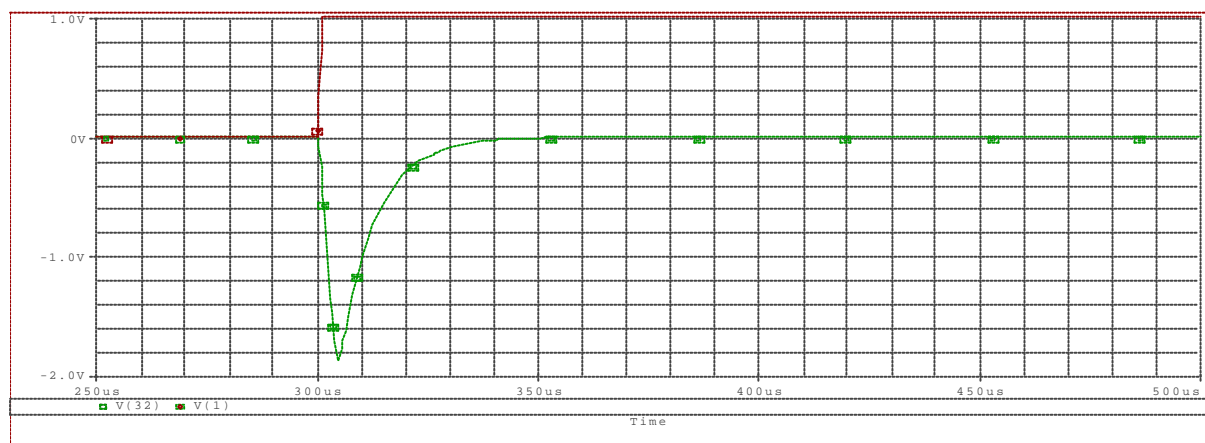
```
*circuit
VIN 1 0 AC 1
VCC+ VCC+ 0 10V
VCC- VCC- 0 -10V
C1 1 21 22N
R1 21 31 1K
XOPAMP1 0 21 VCC+ VCC- 31 uA741
C2 20 22 22N
R2 22 32 1K
Rcom 1 20 100
XOPAMP2 0 22 VCC+ VCC- 32 uA741
.LIB "opamp.lib"
.AC dec 100 0.1 1000Meg
.PROBE
.END
```

```
*circuit
VIN 1 0 pulse(-1V 1V 0.3mS 1us 2us 0.3ms 0.602ms)
VCC+ VCC+ 0 10V
VCC- VCC- 0 -10V
C1 1 21 22N
R1 21 31 1K
XOPAMP1 0 21 VCC+ VCC- 31 uA741
C2 20 22 22N
R2 22 32 1K
Rcom 1 20 100
XOPAMP2 0 22 VCC+ VCC- 32 uA741
.LIB "opamp.lib"
.TRAN 5us 150ms 0 10us
.PROBE
.END
```

Diagrama Bode de modul si faza pentru cele doua circuite:



Functia pondere



Comportare de derivator

